

## РАСЧЕТ ИНДУЦИРОВАННОГО МАГНИТНОГО ПОЛЯ ПРИ СХЛОПЫВАНИИ КАВИТАЦИОННОГО ПУЗЫРЬКА В ЭЛЕКТРОПРОВОДНОЙ ЖИДКОСТИ, ПОМЕЩЕННОЙ ВО ВНЕШНЕЕ ОДНОРОДНОЕ МАГНИТНОЕ ПОЛЕ

Рассматриваются процессы схлопывания кавитационных пузырьков в вязкой электропроводной жидкости, помещенной в магнитное поле. Выводится система уравнений, описывающих процесс схлопывания пузырька и индуцированного магнитного поля, которая исследована численными методами. Показано, что происходит увлечение магнитного поля межфазной границей, причем чем больше скорость схлопывания, тем выше наведенное магнитное поле.

В жидкометаллических МГД-компрессорах холодильных установок сжатие пузырьков пара хладона происходит во внешнем магнитном поле. Попадая в область повышенного давления, пузырьки начинают схлопываться и порождают ударные явления [1]. В работе [2] расчет динамических и теплообменных процессов при схлопывании паровых пузырьков был выполнен в приближении малых магнитных чисел Рейнольдса

$$Re_m = \mu_0 \sigma_l w_a a \ll 1,$$

где  $\mu_0 = 4\pi \cdot 10^{-7}$  Гн/м – магнитная постоянная,  $\sigma_l$  – электропроводность окружающей жидкости,  $w_a$  – скорость межфазной границы парового пузырька,  $a$  – радиус пузырька. Приближение малых магнитных чисел Рейнольдса означает, что величиной индуцированного магнитного поля  $\mathbf{b}$  можно пренебречь по сравнению с индукцией приложенного магнитного поля  $\mathbf{B}_0$  [3].

Известно, что схлопывание паровых пузырьков может происходить в инерционном и термическом режимах. Если скорость отвода теплоты с поверхности пузырька будет много больше скорости выделения теплоты конденсации в самом пузырьке  $Q_\Sigma \gg Q_g$ , то пузырек будет схлопываться в инерционном режиме. При  $Q_\Sigma \ll Q_g$  схлопывание пузырька происходит в термическом режиме, т. е. под контролем внешнего теплообмена. В случае  $Q_\Sigma \sim Q_g$  схлопывание пузырька определяется и динамическими и теплофизическими процессами.

При интенсивном отводе теплоты от пузырька, имеющем место в МГД-компрессоре, схлопывание пузырька происходит в инерционном режиме, когда достигаются высокие скорости межфазной границы пузырька, а в окружающей жидкости наводятся значительные индукционные токи  $\mathbf{j} = \sigma_l \mathbf{w}_l \times \mathbf{B}$ , где  $\mathbf{w}_l$  – скорость в жидкости. С одной стороны, индукционные токи приводят к интенсивному рассеиванию кинетической энергии жидкости через механизм джоулевой диссипации, а с другой, – наводят в пространстве индуцированное магнитное поле  $\mathbf{b}$ , т. е. обратимо переводят часть кинетической энергии жидкости в магнитную энергию. И тот, и другой механизмы приводят к демпфированию гидравлического удара, возникающего при схлопывании парового пузырька.

При числах  $1 < Re_m < 10$  течение жидкости сильно искажает приложенное магнитное поле, однако влиянием поля на течение жидкости еще можно пренебречь [3].

С целью обоснования безиндукционного приближения представляет интерес оценить величину индуцированного магнитного поля при схлопывании парового пузырька.

Гидродинамическая часть системы уравнений динамики парового пузырька включает уравнение неразрывности несжимаемой жидкости

$$\text{div } \mathbf{w}_l = 0, \quad (1)$$

уравнение Навье-Стокса

$$\rho_l \frac{\partial \mathbf{w}_l}{\partial t} + \rho_l (\mathbf{w}_l \cdot \nabla) \mathbf{w}_l = \mathbf{f} - \text{grad } p + \mu \nabla^2 \mathbf{w}_l, \quad (2)$$

где  $\mathbf{f} = \mathbf{j} \times \mathbf{B}$  – плотность электромагнитной силы; уравнение Клапейрона-Клаузиуса для давления пара в пузырьке

$$\frac{dp_s}{dT_s} = \frac{l}{R_\mu (v'' - v')}, \quad (3)$$

условие напряжений на сферической поверхности раздела фаз

$$p_s = p_a + 2 \frac{\Sigma}{a} - 2\mu \left. \frac{\partial w_l}{\partial r} \right|_{r=a}, \quad (4)$$

где  $p_a$  – давление в жидкости на межфазной поверхности, справедливое при однородном давлении пара в пузырьке и пренебрежении массообменом на поверхности пузырька.

Электродинамическая часть системы уравнений включает уравнения Максвелла в низкочастотном приближении для немагнитных сред

$$\text{div } \mathbf{B} = 0, \quad \text{rot } \mathbf{B} = \mu_0 \mathbf{j}, \quad \text{rot } \mathbf{E} = -\frac{\partial \mathbf{B}}{\partial t}, \quad (5), (6), (7)$$

и закон Ома

$$\mathbf{j} = \sigma_l (\mathbf{E} + \mathbf{w}_l \times \mathbf{B}), \quad (8)$$

где  $\mathbf{E}$  – напряженность электрического поля.

Пренебрегая влиянием индуцированного магнитного поля, из уравнений (1) и (2) в сферических эйлеровых координатах  $(r, t)$  получим уравнение динамики парового пузырька – уравнение Релея-Ламба

$$a \frac{d^2 a}{dt^2} + \frac{3}{2} \left( \frac{da}{dt} \right)^2 + \frac{2}{3} \frac{\sigma_l B_0^2}{\rho_l} a \frac{da}{dt} + 4\nu \frac{1}{a} \frac{da}{dt} + 2 \frac{\Sigma}{\rho_l a} = \frac{p(t) - p_\infty}{\rho_l}, \quad (9)$$

где  $p(t) = p_s$  – давление пара в пузырьке, причем в инерционном режиме течения  $p_s(T_s) = const$ .

Коэффициент  $2/3$  у плотности электромагнитной силы обусловлен ее осреднением по поверхности сферы

$$\langle f_r \rangle = \frac{1}{4\pi r^2} \int_0^{\pi} \int_0^{2\pi} f_r r^2 \sin \theta d\theta d\varphi = -\frac{2}{3} \sigma_l w_l B_0^2,$$

при этом меридиональной компонентой  $f_\theta$  электромагнитной силы пренебрегаем.

Для вывода уравнения магнитного поля выразим из закона Ома (8) напряженность электрического поля

$$\mathbf{E} = \frac{1}{\sigma_l} \mathbf{j} - \mathbf{w}_l \times \mathbf{B}$$

и возьмем операцию вихря от обеих частей этого равенства

$$\text{rot } \mathbf{E} = \frac{1}{\sigma_l} \text{rot } \mathbf{j} - \text{rot}(\mathbf{w}_l \times \mathbf{B}).$$

Учитывая закон электромагнитной индукции Фарадея (7), перепишем последнее выражение в виде

$$-\frac{\partial \mathbf{B}}{\partial t} = \frac{1}{\sigma_l \mu_0} \text{rot rot } \mathbf{B} - \text{rot}(\mathbf{w}_l \times \mathbf{B}).$$

Выражение  $\text{rot rot } \mathbf{B}$  с учетом соленоидальности магнитного поля равно  $-\nabla^2 \mathbf{B}$ , поэтому уравнение магнитного поля принимает вид

$$\frac{\partial \mathbf{B}}{\partial t} = \lambda \nabla^2 \mathbf{B} + \text{rot}(\mathbf{w}_l \times \mathbf{B}), \quad (10)$$

где  $\lambda = 1/(\sigma_l \mu_0)$ , или, заменяя  $\text{rot}(\mathbf{w}_l \times \mathbf{B})$  по формулам векторного анализа с учетом уравнений (1) и (5), придадим уравнению (10) следующий вид

$$\frac{\partial \mathbf{B}}{\partial t} + (\mathbf{w}_l \cdot \nabla) \mathbf{B} = (\mathbf{B} \cdot \nabla) \mathbf{w}_l + \lambda \nabla^2 \mathbf{B}. \quad (11)$$

Если ввести субстациональную производную  $\frac{d}{dt} = \frac{\partial}{\partial t} + (\mathbf{w}_l \cdot \nabla)$ , то уравнение (11) примет канонический вид

$$\frac{d\mathbf{B}}{dt} = (\mathbf{B} \cdot \nabla) \mathbf{w}_l + \lambda \nabla^2 \mathbf{B}. \quad (12)$$

Запишем уравнения магнитного поля (11) в сферической системе координат  $(r, \theta, \varphi)$ , учитывая радиальность течения  $\mathbf{w}_l(w_l, 0, 0)$ , симметрию магнитного поля по широтному углу  $\varphi$ , т. е.  $\mathbf{B}(B_r, B_\theta, 0)$ . Вычислив конвективные производные  $(\mathbf{B} \cdot \nabla) \mathbf{w}_l$ ,  $(\mathbf{w}_l \cdot \nabla) \mathbf{B}$  и оператор Лапласа  $\nabla^2 \mathbf{B}$ , получим

$$\begin{aligned} \frac{\partial B_r}{\partial t} + w_l \frac{\partial B_r}{\partial r} = B_r \frac{\partial w_l}{\partial r} + \\ + \frac{\lambda}{r \sin \theta} \frac{\partial}{\partial \theta} \left( \frac{\sin \theta}{r} \frac{\partial}{\partial r} (r B_\theta) - \frac{\sin \theta}{r} \frac{\partial B_r}{\partial \theta} \right) \end{aligned} \quad (13)$$

$$\frac{\partial B_\theta}{\partial t} + w_l \frac{\partial B_\theta}{\partial r} = -\frac{\lambda}{r} \frac{\partial}{\partial r} \left[ \frac{\partial}{\partial r} (r B_\theta) - \frac{\partial B_r}{\partial \theta} \right]. \quad (14)$$

К уравнениям (13), (14) необходимо добавить условия однозначности:

На бесконечности:

$$r \rightarrow \infty, \theta = \frac{\pi}{2}, 0 \leq \varphi \leq 2\pi, B_\theta = B_0, B_r = 0;$$

$$r \rightarrow \infty, \theta = 0, 0 \leq \varphi \leq 2\pi, B_r = -B_0, B_\theta = 0;$$

при  $0 \leq \varphi \leq 2\pi, 0 \leq \theta \leq \pi$ ,

$$-B_0 \mathbf{k} = -B_0 \cos \theta \mathbf{i}_r + B_0 \sin \theta \mathbf{i}_\theta,$$

где  $\mathbf{i}_r, \mathbf{i}_\theta, \mathbf{i}_\varphi$  – физический базис сферической системы координат.

При  $r=a(t)$  имеет место скачок электропроводных свойств, поэтому на поверхности пузырька остается непрерывной нормальная составляющая магнитного поля:  $B_{gr} = B_r|_{r=a}$ , где  $B_g$  – индукция магнитного поля в пузырьке. В немагнитных средах на поверхности разрыва остается непрерывной и касательная компонента магнитного поля:  $B_{g\theta} = B_\theta|_{r=a}$ . Поскольку пар в пузырьке неэлектропроводен, то  $\lambda \rightarrow \infty$ , и поле внутри пузырька подчиняется уравнению Лапласа, причем в любой момент времени в центре пузырька

$$r = 0, \theta = \pi/2, B_r(t, \pi/2, 0) = 0, B_\theta(t, \pi/2, 0) = B(t).$$

Чтобы найти индукцию магнитного поля в центре пузырька, воспользуемся формулой Био-Савара – Лапласа. Компонента  $\mathbf{b} \parallel$  наведенного магнитного поля на направление приложенного поля  $\mathbf{B}_0$  в декартовой системе координат определяется формулой

$$db_{\perp} = -\frac{\mu_0}{4\pi} \frac{|\mathbf{j} \times \mathbf{B}| \sin \theta}{r^3} dV.$$

Проинтегрируем это уравнение по всему пространству жидкости, где протекают индукционные токи, и получим

$$\begin{aligned} b_{\perp} = -\int_V \frac{\mu_0}{4\pi} \frac{|\mathbf{j}|}{r^2} \sin \theta dV = -\frac{\mu_0}{4\pi} \int_0^\infty \int_0^{2\pi} \int_0^{\pi/2} \frac{j_\varphi}{r^2} \sin^2 \theta r^2 dr d\theta d\varphi = \\ = -\frac{2}{3} \mu_0 \sigma_l w_a a(t) B_0. \end{aligned} \quad (15)$$

При вычислении тройного интеграла учтено, что  $j_\varphi = \sigma_l w_a B_0 \sin \theta$ .

В случае малого радиуса пузырька индуцированное в его центре магнитное поле можно считать однородным в экваториальной плоскости вплоть до границы с жидкой фазой:

$$r = a(t): B_\theta = B_0 + b_{\perp} = \left( 1 - \frac{2}{3} \sigma_l w_a(t) a(t) \right) B_0. \quad (16)$$

Наибольшее индуцированное поле возникает в экваториальной плоскости пузырька, где имеют место наибольшие азимутальные токи. По этой причине оценку величины индуцированного магнитного поля можно получить именно для этого сечения пузырька.

Уравнение, описывающее поле в этой плоскости, следует из уравнения (14) с учетом симметрии поля относительно экватора:

$$\theta = \frac{\pi}{2}, B_r = 0, \frac{\partial B_r}{\partial \theta} \Big|_{\theta=\pi/2} = 0,$$

и имеет вид

$$\frac{\partial B_\theta}{\partial t} + w_l \frac{\partial B_\theta}{\partial r} = \frac{\lambda}{r} \frac{\partial}{\partial r} \left[ \frac{\partial}{\partial r} (r B_\theta) \right]. \quad (17)$$

Для решения уравнения (17) перейдем к системе приведенных координат

$$\eta = \frac{r}{a(t)}$$

и, используя формулы перехода

$$\frac{\partial}{\partial r} = \frac{1}{a(t)} \frac{\partial}{\partial \eta}, \quad \frac{\partial}{\partial t} \left( \right)_r = \frac{\partial}{\partial t} \left( \right)_\eta - \frac{\dot{a}}{a} \eta \frac{\partial}{\partial \eta},$$

преобразуем уравнение (17) с учетом того, что индукцию магнитного поля  $B_\theta$  на луче  $[a, \infty)$  можно представить в виде суммы  $B_\theta = B_0 + b_\theta$ , где  $b_\theta$  – индуцированное магнитное поле, к виду

$$\frac{\partial b}{\partial t} - \frac{\dot{a}}{a} \eta \frac{\partial b}{\partial \eta} + w_a \frac{1}{\eta^2 a} \frac{\partial b}{\partial \eta} = \frac{\lambda}{a^2} \frac{\partial^2 b}{\partial \eta^2} + 2 \frac{\lambda}{a^2 \eta} \frac{\partial b}{\partial \eta},$$

причем индекс  $\theta$  у индуцированного поля  $b$  опущен.

Перейдем к приведенным величинам:

$$b_* = \frac{b}{B_0}, \quad a_* = \frac{a}{a_0}, \quad \tau_* = \frac{t}{t_0}, \quad w_* = \frac{w}{w_0}$$

соответственно полю, радиусу, времени и скорости, где

$t_0 = \frac{a_0}{w_0}$ ,  $w_0 = \sqrt{\frac{p_s}{\rho}}$  – характерные время и скорость в задаче, тогда последнее уравнение примет вид:

$$\frac{\partial b_*}{\partial \tau_*} + \frac{w_*}{a_*} \left( \frac{1}{\eta^2} - \eta \right) \frac{\partial b_*}{\partial \eta} = \frac{1}{\text{Re}_m} \frac{1}{a_*^2} \frac{\partial^2 b}{\partial \eta^2} + 2 \frac{1}{\text{Re}_m} \frac{1}{a_*^2 \eta} \frac{\partial b}{\partial \eta}, \quad (18)$$

а магнитное число Рейнольдса определено равенством:

$$\text{Re}_m = \mu_0 \sigma_l a_0 w_0.$$

Уравнение Релея-Ламба в приведенных переменных принимает вид

$$a_* \frac{d^2 a_*}{d\tau_*^2} + 3 \left( \frac{da_*}{d\tau_*} \right)^2 + \frac{2}{3} \frac{\text{Ha}^2}{\text{Re}} a_* \frac{da_*}{d\tau_*} + \frac{4}{\text{Re}} \frac{1}{a_*} \frac{da_*}{d\tau_*} + \frac{2}{\text{We}} \left( \frac{1}{a_*} - 1 \right) = p_* - (k+1), \quad (19)$$

где  $k = \delta p_\infty / p_s$  – параметр возмущения,  $\delta p_\infty$  – скачок давления, выводящий систему из равновесия, а числа Гартамана, Рейнольдса и Вебера определены равенствами:

$$\text{Ha} = a_0 B_0 \sqrt{\frac{\sigma_l}{\rho v_l}}, \quad \text{Re} = \frac{a_0 w_0}{v_l}, \quad \text{We} = \frac{\rho w_0^2}{\Sigma / a_0}.$$

Систему уравнений (18), (19) следует дополнить условиями однозначности:

$$\begin{aligned} \tau_* = 0: & \quad b_* = 0, \quad a_* = 1, \quad w_* = 0; \\ \eta = 1: & \quad w_* = \dot{a}_*, \quad b_* = \frac{2}{3} \text{Re}_m w_* a_*, \quad \tau_* > 0; \\ \eta \rightarrow \infty: & \quad w_* \rightarrow 0, \quad b_* \rightarrow 0, \quad \tau_* > 0. \end{aligned} \quad (20)$$

Для численного решения полученной системы уравнений удобно уравнение (18) представить в виде

$$\frac{\partial b}{\partial \tau} + A(\tau, \eta) \frac{\partial b}{\partial \eta} - C(\tau) \frac{\partial^2 b}{\partial \eta^2} = 0, \quad (20)$$

где функции  $A(\tau, \eta)$  и  $C(\tau)$  определены так:

$$A(\tau, \eta) = \frac{w_*}{a_*} \left( \frac{1}{\eta^2} - \eta \right) - \frac{1}{\text{Re}_m} \frac{2}{\eta a_*^2}, \quad C(\tau) = \frac{1}{\text{Re}_m} \frac{2}{a_*^2},$$

и звездочка у поля  $b$  опущена.

Пусть  $T$  и  $L$  – временной и пространственный интервалы, на которых ищутся решения системы уравнений (19), (21) с условиями однозначности (20), а  $\delta\tau = \frac{T}{N}$ ,

$\delta\eta = \frac{L}{M}$  – шаги на сетке по соответствующим переменным:

$$\tau = n\delta\tau, \quad \eta = 1 + m\delta\eta, \quad n \in [0, N], \quad m \in [0, M-1].$$

Для решения уравнения (21) воспользуемся методом конечных разностей и заменим в нем производные по выражениям

$$\frac{\partial b}{\partial \tau} = \frac{b_{n,m} - b_{n-1,m}}{\delta\tau}, \quad \frac{\partial b}{\partial \eta} = \frac{b_{n,m+1} - b_{n,m}}{\delta\eta},$$

$$\frac{\partial^2 b}{\partial \eta^2} = \frac{b_{n,m+1} - 2b_{n,m} + b_{n,m-1}}{\delta\eta^2}.$$

Уравнение (21) примет вид

$$-r_n b_{n,m-1} + \left( 1 + 2r_n - A_n \frac{\delta\tau}{\delta\eta} \right) b_{n,m} - r_n b_{n,m+1} = b_{n-1,m}, \quad (22)$$

где  $r_n = C_n \frac{\delta\tau}{\delta\eta^2}$ .

Конечно-разностное уравнение (22) порождает неявную схему, хорошо исследованную в методах численного решения уравнения энергии [4].

Не останавливаясь на подробностях программной реализации решения системы уравнений пузырька и магнитного поля, приведем основные результаты численного исследования этой системы. Отметим лишь, что при решении уравнения (19) методом Рунге-Кутты становились известными на каждом временном шаге динамические параметры, которые программно передавались в подпрограмму решения уравнения (22).

Ниже обсуждаются результаты расчета индуцированного магнитного поля при схлопывании парового пузырька фреона в среде жидкого галлия:  $\rho = 6093 \text{ кг/м}^3$ ,  $\nu_l = 3,11 \cdot 10^{-7} \text{ м}^2/\text{с}$ ,  $\Sigma = 0,487 \text{ Н/м}$ ,  $\sigma_l = 3,86 \cdot 10^{-6} \text{ (Ом}\cdot\text{м)}^{-1}$ , начальное давление пара фреона в пузырьке радиусом  $a_0 = 5 \text{ мм}$  соответствовало температуре  $5^\circ\text{C}$  и с учетом капиллярного давления составляло  $p_s = 5 \cdot 10^4 \text{ Па}$ . Система мгновенно ставилась под конечное давление  $5 \cdot 10^5 \text{ Па}$ , что соответствовало скачку давления с параметром возмущения  $k=9,1$ . Характерные скорость  $w_0 = 2,86 \text{ м/с}$  и время  $\tau_0 = 1,75 \cdot 10^{-3} \text{ с}$  порождали числа задачи  $\text{Re} = 46000$ ,  $\text{We} = 510$ ,  $\text{Re}_m = 0,046$ ,  $\text{Ha} = 225$  при индукции внешнего поля  $B_0 = 1 \text{ Т}$ .

На рис. 1 показаны графики приведенного индуцированного магнитного поля  $b_*$  в пространстве окружаю-

щей жидкости для различных моментов времени  $\tau_*$ . Кривые показывают увеличение индукции поля по мере приближения к поверхности пузырька из бесконечности, где оно равно нулю, а также со временем процесса. Первая особенность объясняется тем, что наибольшие скорости жидкости при схлопывании пузырька возникают вблизи межфазной поверхности, что в свою очередь приводит к большим индукционным токам именно вблизи пузырька, а они в свою очередь искажают приложенное магнитное поле. С увеличением времени процесса происходит нарастание скорости схлопывания межфазной границы, что и обуславливает рост индуцированного поля по времени.

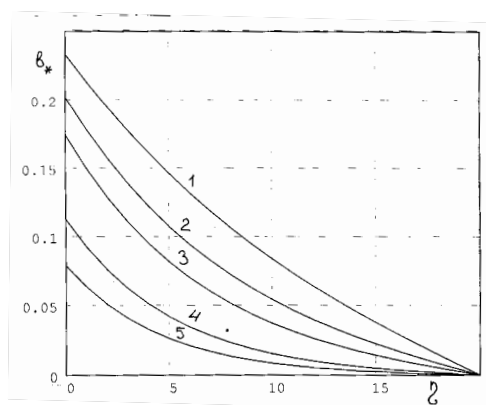


Рисунок 1. Зависимость индуцированного магнитного поля  $b_*$  от расстояния  $h$  от пузырька для различных моментов времени: кривая 1 –  $\tau_*(39/50)T$ , 2 –  $(38/50)T$ , 3 –  $(35/50)T$ , 4 –  $(25/50)T$ , 5 –  $(15/50)T$ , 6 –  $(10/50)T$ ;  $T=0,316561$  – приведенная длительность процесса

На рис. 2 изображены графики зависимости индуцированного магнитного поля  $b_*$  от времени процесса  $t_*$  на различных расстояниях от поверхности пузырька. Кривые показывают, что в процессе схлопывания пузырька во всем внешнем пространстве жидкости происходит искажение внешнего магнитного поля. Поле увлекается пузырьком, что является проявлением частичной «вмороженности» поля в жидкость. Этот эффект, хорошо известный в магнитной гидродинамике, иллюстрируется теми же графиками, изображенными на рис. 3, полученными при десятикратном увеличении электропроводности среды (электропроводность меди).

Кривые на рис. 3 показывают, что максимум индукции индуцированного магнитного поля не совпадает с поверхностью пузырька, а расположен от нее на некотором расстоянии вглубь жидкости (кривая 3 на этом рис.). Эту особенность можно объяснить влиянием не только величины индуцированного тока (или скорости межфазной границы), но и длиной его контура

циркуляции (или радиусом). Максимум произведения  $w_* a_*$  лежит не на межфазной границе, а с некоторым смещением, что и обуславливает смещение максимума индуцированного магнитного поля с поверхности пузырька. В то же время графики показывают, что происходит значительное усиление магнитного поля, порядка в 100 тысяч раз, но в очень короткие промежутки времени.

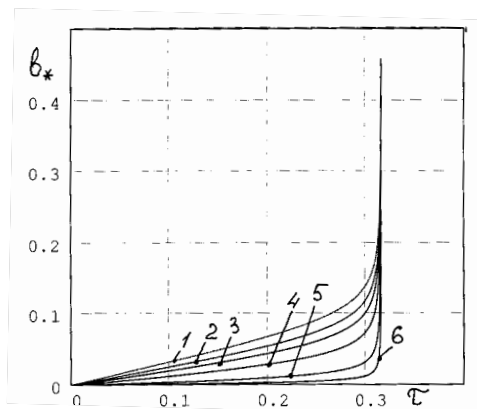


Рисунок 2. Зависимость приведенного индуцированного поля  $b_*$  от времени процесса  $t_*$  на различных расстояниях от пузырька: кривая 1 – поверхность пузырька, 2 – 1 пространственный шаг, 3 – 5 шагов, 4 – 15, 5 – 19 шагов

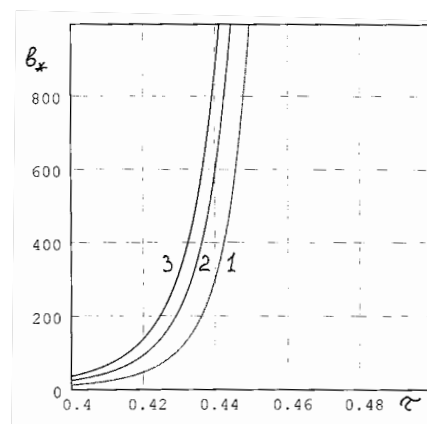


Рисунок 3. Зависимость приведенного индуцированного поля  $b_*$  от времени процесса  $t_*$  на различных расстояниях от пузырька: кривая 1 – 1 шаг, 2 – 2 шага, 3 – 5 (электропроводность увеличена в 10 раз по сравнению с рис. 2)

Таким образом, кавитационные пузырьки можно использовать в качестве генераторов магнитного поля по типу взрывоманнитных генераторов.

**Список использованной литературы:**

1. Васильев А.П., Бондаренко В.А., Тараков Д.А. Жидкометаллический МГД-компрессор // Холодильная техника. – 1991, №12. – С. 22-24.
2. Васильев А.П. Схлопывание пузырька с влажным паром в поле электромагнитной силы // ПМТФ, 2002.
3. Кирко И.М., Кирко Г.Е. Магнитная гидродинамика несжимаемых сред. Пермь, 1979. – 95 с.
4. Патанкар С. Численные методы решения задач теплообмена и динамики жидкости. – Энергоатомиздат, 1984. – 149 с.